

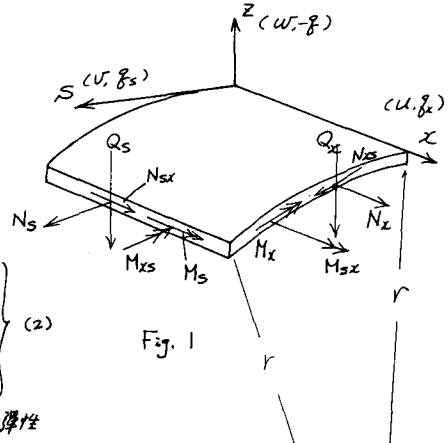
岐阜大学 工学部 正夏 ○井上 肇
" " 正夏 時実 公生

複雑な境界条件をもつ シエルの解析については、近似計算に頼らざるを得ない。最近、その手段として有限要素法がストリックス法に立脚して、シエル等の構造物の解析に多く用いられているが、そこでも扱うべき未知量の数は相手に大きく異なる。こゝでは、変位だけと未知量とする階差法によって、有限要素法のときよりも、すくない未知数によって、シエルの自由振動の近似解と、行列連算の手法を用いて求めようとするものである。対象としたシエルは Non-Circular is Cylindrical シエルとし、シエル厚さはその曲線方向にのみ変化してなるものとして取扱った。

運動方程式とその階差表示

Fig. 1 のように 座標系と断面力等とともに、シエルの要素の釣り合い条件式は、つきのようになる。¹⁾

$$\left. \begin{aligned} \frac{\partial N_x}{\partial x} + \frac{\partial N_{xs}}{\partial s} + \beta_x &= \rho h \ddot{u} \\ \frac{\partial N_{xs}}{\partial x} + \frac{\partial N_s}{\partial s} + \beta_s &= \rho h \ddot{v} \\ \frac{\partial^2 M_x}{\partial x^2} + 2 \frac{\partial^2 M_{xs}}{\partial x \partial s} + \frac{\partial^2 M_s}{\partial s^2} - \frac{N_x}{r} - f &= \rho h \ddot{w} \end{aligned} \right\} \quad (1)$$



変位と断面力との間につきの関係がある。

$$\left. \begin{aligned} N_x &= K \left(\frac{\partial u}{\partial x} + \nu \frac{\partial v}{\partial s} + \frac{\partial w}{\partial r} \right), \quad M_x = -D \left(\frac{\partial^2 w}{\partial x^2} + \nu \frac{\partial^2 w}{\partial s^2} \right) \\ N_s &= K \left(\frac{\partial v}{\partial s} + \frac{w}{r} + \nu \frac{\partial u}{\partial x} \right), \quad M_s = -D \left(\frac{\partial^2 w}{\partial s^2} + \nu \frac{\partial^2 w}{\partial x^2} \right) \\ N_{xs} &= N_{sx} = G h \left(\frac{\partial u}{\partial x} + \frac{\partial v}{\partial s} \right), \quad M_{xs} = M_{sx} = -G \frac{h^3}{6} \frac{\partial^2 w}{\partial x \partial s} \end{aligned} \right\} \quad (2)$$

ここで $K = Eh/(1-\nu^2)$, $D = Eh^3/12(1-\nu^2)$, E : 弾性係数, G : せん断弹性係数, ν : Poisson比, h : シエルの厚さ, ρ : シエルの単位体積当りの質量

通常の階差式表現にしたがって、(1) & (2) は

$$\left[\frac{1}{2\lambda} C_3, \frac{1}{2\mu} C_4, \frac{1}{2\lambda} C_5, \frac{1}{2\mu} C_6, -\frac{1}{\lambda} C_2, \frac{1}{\lambda^2} C_2, \frac{1}{2\lambda\mu} C_6, \frac{1}{\mu^2} C_2 \right] \cdot \begin{pmatrix} \bar{N}_x \\ \bar{N}_{xs} \\ \bar{N}_s \\ \bar{M}_x \\ \bar{M}_{xs} \end{pmatrix} = \begin{pmatrix} -\beta_x \\ -\beta_s \\ \beta \\ \bar{f} \end{pmatrix} + \rho \begin{pmatrix} \bar{R}\ddot{u} \\ \bar{R}\ddot{v} \\ \bar{R}\ddot{w} \end{pmatrix} \quad (3)$$

$$\begin{pmatrix} N_x \\ N_{xs} \\ N_s \\ M_x \\ M_{xs} \\ M_s \end{pmatrix} = K \begin{pmatrix} \frac{1}{2\lambda} C_3, \frac{\nu}{2\mu} C_4, \frac{\nu}{r} C_2 \\ \frac{1}{2\mu} C_5, \frac{1}{2\lambda} C_6, \frac{1}{r} C_2 \\ \frac{\nu}{2\lambda} C_3, \frac{\nu}{2\mu} C_4, \frac{1}{r} C_2 \\ \frac{1}{\lambda^2} C_1, \frac{\nu}{\mu^2} C_1, \frac{1}{\lambda^2\mu} C_6 \\ \frac{\nu}{\lambda^2} C_1, \frac{1}{\mu^2} C_1 \end{pmatrix} \cdot \begin{pmatrix} \bar{u} \\ \bar{v} \\ \bar{w} \\ \bar{w} \\ \bar{w} \end{pmatrix}$$

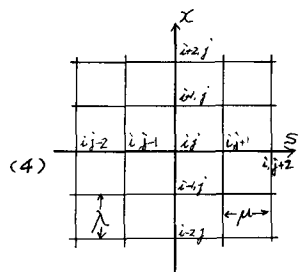


Fig. 2

$$\therefore \text{2}^{\circ} \quad C_1 = [1, -2, 1], \quad C_2 = [0, 1, 0], \quad C_3 = [-1, 0, 1], \quad C_4 = [1, 1, 0, 0, 0], \quad C_5 = [0, 0, 0, -1, 1], \quad C_6 = C_4 - C_5$$

$$\bar{N}_{xzij} = \{N_{xz,ij}, N_{xz,j}, N_{xz,ijj}, N_{xz,ijjj}\}, \quad \bar{N}_{xs,ij} = \{N_{xs,ij}, N_{xs,ijj}, N_{xs,ijjj}, N_{xs,ijjjj}\}, \quad \bar{N}_{xij} = \{N_{x,ij}, N_{x,ijj}, N_{x,ijjj}\} \quad (5)$$

$$\bar{M}_{xz} = \{M_{xz,ij}, M_{xz,j}, M_{xz,ijj}\}, \quad \bar{M}_{xs} = \{M_{xs,ij}, M_{xs,ijj}, M_{xs,ijjj}, M_{xs,ijjjj}\}, \quad \bar{M}_{x} = \{M_{x,ij}, M_{x,ijj}, M_{x,ijjj}\}$$

$$\bar{U}_{ij} = \{U_{ij}, U_{ijj}, U_{ijjj}\}, \quad \bar{U}_{ij}^* = \{U_{ij,i}, U_{ij,j}, U_{ij,ijj}\}, \quad \bar{U}_{ij}'' = \{U_{ij,i}, U_{ij,j}, U_{ij,ijj}\}, \quad \bar{U}_{ij}''' = \{U_{ij,i}, U_{ij,j}, U_{ij,ijj}\} \quad (6)$$

$$\bar{W}_{ij} = \{W_{ij}, W_{ijj}, W_{ijjj}\}, \quad \bar{W}_{ij}^* = \{W_{ij,i}, W_{ij,j}, W_{ij,ijj}\}, \quad \bar{W}_{ij}'' = \{W_{ij,i}, W_{ij,j}, W_{ij,ijj}\}, \quad \bar{W}_{ij}''' = \{W_{ij,i}, W_{ij,j}, W_{ij,ijj}\}$$

(3) の未知量の項と(4)と用いて表す"表現すれば"

$$\begin{bmatrix} \bar{N}_x \\ \bar{N}_{xs} \\ \bar{N}_s \\ \bar{M}_x \\ \bar{M}_{xs} \\ \bar{M}_s \end{bmatrix}_{ij} = \frac{K_0}{\lambda^2 \mu^2} \begin{bmatrix} L_{11} & L_{12} & L_{13} \\ L_{21} & L_{22} & \\ L_{31} & L_{32} & L_{33} \\ & L_{41} & \\ & L_{51} & \\ & L_{61} & \end{bmatrix} \cdot \begin{bmatrix} U \\ V \\ W \end{bmatrix}_{ij} \quad (7)$$

となる。この $K_0 = E h_0 / (1 - \nu^2)$, h_0 ; 基準となる柱の厚さ

$$U = \{U_{ij-2}, U_{ij-1}, U_{ij}, U_{ij+1}, U_{ij+2}, U_{ij+3}, U_{ij+4}, U_{ij+5}, U_{ij+6}, U_{ij+7}, U_{ij+8}\}$$

$$V = \{V_{ij-2}, V_{ij-1}, V_{ij}, V_{ij+1}, V_{ij+2}, V_{ij+3}, V_{ij+4}, V_{ij+5}, V_{ij+6}, V_{ij+7}, V_{ij+8}\}$$

$$W = \{W_{ij-2}, W_{ij-1}, W_{ij}, W_{ij+1}, W_{ij+2}, W_{ij+3}, W_{ij+4}, W_{ij+5}, W_{ij+6}, W_{ij+7}, W_{ij+8}\}$$

L_{11} etc. Matrix 2 (

これと(3)に代入すれば、(3)の運動方程式の階差表示とう。

$$\frac{K_0}{\lambda^2 \mu^2} \cdot \begin{bmatrix} N_{11} & N_{12} & N_{13} \\ N_{21} & N_{22} & N_{23} \\ N_{31} & N_{32} & N_{33} \end{bmatrix}_{ij} \begin{bmatrix} U \\ V \\ W \end{bmatrix}_{ij} = \begin{bmatrix} -\delta_x \\ -\delta_s \\ \delta_{ij} \end{bmatrix} + f \begin{bmatrix} \rho \ddot{U} \\ \rho \ddot{V} \\ \rho \ddot{W} \end{bmatrix}_{ij} \quad (8)$$

$$\therefore \text{2}^{\circ} \quad N_{11} = \frac{1}{2\lambda} C_3 L_{11} + \frac{1}{2\mu} C_4 L_{21}, \quad N_{21} = \frac{1}{2\lambda} C_5 L_{21} + \frac{1}{2\mu} C_3 L_{31}, \quad \text{etc.}$$

一般に、階差法によると、少ない未知量で、高精度の結果を得るために、高精度階差式(入、 $\mu = 2, 4$ or 6 次の項までと用いた)を用いる方がよいのは当然であるが、このことは、表記の簡便化を図るため普通精度のもの(λ, μ の2次の項まで)と用いた。 (8)によるとエレメントの Stiffness Matrix を作成し(境界条件を考慮して), $\delta_x = \delta_s = \delta = 0$ とすれば、運動方程式(このときは振動方程式)が得られる。

計算例については、1) 因子形 2) 故意線形の部分エレメントについて 計算した。当日は少しあ。

1) Kraus, H.; Thin Elastic Shells, John Wiley & Sons, 1967, p.200

2) 井上・時実; 曲率および断面が一定でない下の自由振動, 工学会第23回年次学術講演会, 昭43, I-143

3) Mah, Borden B.; Numerical Analysis of Non-circular Cylindrical Shells, Proc. ASCE, Vol. 93, EM3, 1967

4) 佐竹; 深の高精度差方式とその応用, 日本鋼構造協会第1回大会研究講演会, 1971, 構造解析講演概要, p.55, 昭44